

Список литературы

- [1] Jones D. H. // Hyperfine Interactions. 1989. V. 47. P. 289–297.
- [2] Крупинский Ю. Ф., Суздалев И. П. // ЖЭТФ. 1973. Т. 65. № 4. С. 1715–1725.
- [3] Дзялошинский И. Е. // ЖЭТФ. 1957. Т. 32. № 6. С. 1547–1562.
- [4] Arajs S. // Phys. Rev. B. 1987. V. 35. N 10. P. 4810–4811.
- [5] Kundig W., Bommel H., Constabaris G., Lindquist R. H. // Phys. Rev. 1966. V. 142. N 2. P. 327–333.
- [6] Белозерский Г. Н., Павлюхин Ю. Т. // ФТТ. 1977. Т. 19. № 5. С. 1279–1287.
- [7] Picone P. J., Haneda K., Morrish A. H. // J. Phys. C.: Solid State Phys. 1982. V. 15. N 2. P. 317–327.
- [8] Morup S. // J. Magn. Magn. Mater. 1983. V. 37. N 1. P. 39–50.
- [9] Morup S., Christensen P. H., Clausen B. S. // J. Magn. Magn. Mater. 1987. V. 68. N 1. P. 160–170.
- [10] Morup S., Madsen M. B., Franck J., Villadsen J., Koch C. J. W. // J. Magn. Magn. Mater. 1983. V. 40. N 1. P. 163–174.
- [11] Morup S. // IEEE Transc. Mag. 1987. V. MAG-23. N 5. P. 3518–3519.
- [12] Qiu Z. Q., Du Y. W., Tang H., Walker J. C. // J. Appl. Phys. 1988. V. 63. N 8. P. 4100–4104.

Институт атомной энергии
им. И. В. Курчатова
Москва

Поступило в Редакцию
9 января 1991 г.

УДК 548 : 537.621.611.46 : 669.851 : 56.'24.'181.1 © Физика твердого тела, том 33, № 9, 1991
Solid State Physics, vol. 33, N 9, 1991

АНОМАЛЬНЫЕ МАГНИТНЫЕ СВОЙСТВА ФОСФИДОВ LnNi_4P_2

*C. И. Чихрий, Ю. К. Гореленко, С. В. Орищук, Р. В. Сколоводра,
Ю. Б. Кузьма*

Фосфиды LnNi_4P_2 характеризуются кристаллической структурой типа ZrFe_4Si_2 (пространственная группа $P4_2/mnm$, $a=0.7116$, $c=0.3614$ нм для TbNi_4P_2)^[1]. Структура фосфидов LnNi_4P_2 подтверждена в^[2], где также синтезированы изоструктурные арсениды LnNi_4As_2 . Сообщается, что соединения LnNi_4As_2 являются ланжевеновскими парамагнетиками со значениями эффективных магнитных моментов $\mu_{\text{эфф}}$ на формульную единицу, соответствующими $\mu_{\text{эфф}}$ ионов Ln^{3+} . Магнитное упорядочение Ln -подрешетки в LnNi_4As_2 (атомы Ni немагнитны) происходит при температурах, характерных для взаимодействия РКИ. Однако авторы^[2] не приводят магнитных характеристик фосфидов LnNi_4P_2 .

В настоящей работе сообщаются результаты изучения намагниченности σ соединений LnNi_4P_2 в интервале 293–800 К.

Для получения образцов использовали исходные вещества чистотой не менее 0.998 мас. доли основного компонента. Порошки никеля и красного фосфора перемешивали, прессовали в брикеты и сплавляли с кусочками компактных РЗМ в электродуговой печи в атмосфере очищенного аргона. Потери при плавке вследствие улетучивания фосфора составляли не более 2 мас.%; в противном случае образец готовился заново. Для гомогенизации сплавы подвергали термическому отжигу при 1070 К на протяжении 320 ч. Фазовый состав образцов контролировали рентгеноструктурным и микроструктурным методами, оба метода показали наличие в образце только фазы LnNi_4P_2 . Так как на намагниченность могли бы влиять примеси железа и кобальта, то проведен рентгеновский спектральный анализ образцов (CAMEBAX MBX), который не выявил примесей этих элементов в границах чувствительности метода (0.01 мас.%).

Измерение намагниченности проводили на вибромагнитометре собственной конструкции в магнитных полях напряженностью до 0.8 МА/м в интервале температур 293–800 К.

Намагниченность исследованных образцов имеет небольшие значения и не достигает насыщения (рис. 1), что свидетельствует о кристаллографической магнитной анизотропии исследованных веществ. Температурные зависимости соединений LnNi_4P_2 , где $\text{Ln} = \text{Gd}, \text{Tb}, \text{Ho}$, характерны для ферромагнетиков с точкой компенсации T_c (рис. 2, a), для остальных соединений с ростом T значение σ уменьшается (рис. 2, б). Значения точек Кюри T_c определены графически из зависимостей $\sigma^2(T)$.

Исследованные фосфиды обладают аномально высокими значениями T_c по сравнению с другими интерметаллидами РЗМ и никеля или фос-

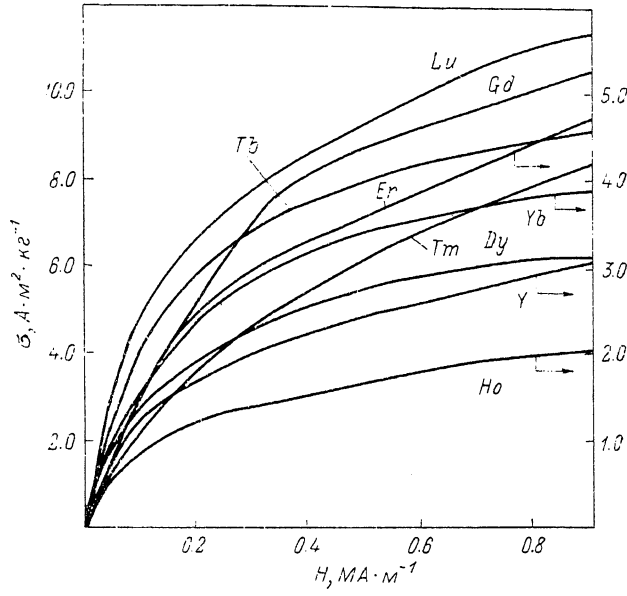


Рис. 1. Зависимость $\sigma(H)$ соединений LnNi_4P_2 при 293 К.

фора [3–5]. Наиболее высокими значениями T_c среди интерметаллидов никеля и РЗМ характеризуются фазы $\text{Ln}_2\text{Ni}_{17}$ (205 К для $\text{Gd}_2\text{Ni}_{17}$ и ниже для остальных) [3]. Кроме соединений $\text{Ln}_2\text{Ni}_{17}$, магнитный момент никеля может иметь небольшие значения в фазах LnNi_3 и Ln_2Ni_7 , однако их температуры магнитного упорядочения значительно ниже, чем фаз $\text{Ln}_2\text{Ni}_{17}$. Исчезновение магнитного момента на атомах никеля с уменьшением его содержания связывают с заполнением 3d-полосы никеля. Уменьшение содержания никеля в LnNi_4P_2 (57.1 ат. %) должно привести к заполнению его 3d-зоны, поэтому механизм появления магнитного упорядочения в LnNi_4P_2 остается неясным. В каждом случае обменное взаимодействие типа РККИ между атомами $\text{Ln}—\text{Ln}$ не проявляется при таких высоких температурах, как для соединений LnNi_4P_2 . Учитывая магнитные свойства изоструктурных арсенидов LnNi_4As_2 , можно сделать вывод, что появление аномальных магнитных свойств LnNi_4P_2 связано с наличием фосфора в составе соединений и образованием локализованных магнитных моментов на атомах никеля (последнее подтверждается магнитными свойствами YNi_4P_2 и LuNi_4P_2 , где Y и Lu — немагнитные атомы). Возможно, что в фосфидах LnNi_4P_2 происходит образование ковалентных связей $\text{Ni}—\text{P}$ с частичным сдвигом электронной плотности к атомам P (электроотрицательность P — 2.06, Ni — 1.76 [6]), вследствие чего d-подуровень никеля остается частично незаполненным. Образование таких ковалентных связей может подтверждаться межатомными расстояниями Ni—P (0.230 и

0.232 нм), которые меньше суммы металлических радиусов никеля и фосфора (0.252 нм). Обменное взаимодействие между атомами никеля, вызывающее упорядочение их моментов, может быть прямое (δ_{Ni-Ni} равны

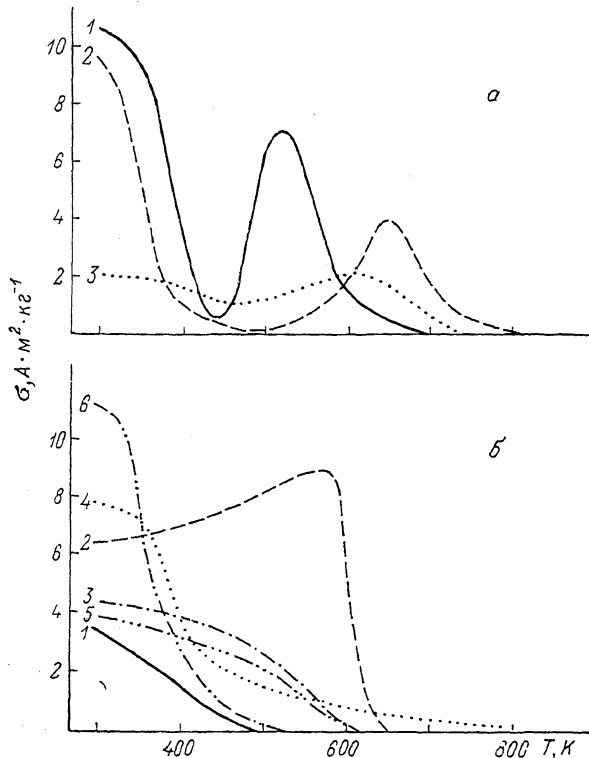


Рис. 2. Зависимость $\sigma(T)$ соединений (в скобках приведены T_c).

а: 1 — $GdNi_4P_2$ (590 К), 2 — $TbNi_4P_2$ (730 К), 3 — $HoNi_4P_2$ (720 К); б: 1 — YNi_4P_2 (440 К), 2 — $DyNi_4P_2$ (610 К), 3 — $ErNi_4P_2$ (600 К), 4 — $TmNi_4P_2$ (450 К), 5 — $YbNi_4P_2$ (600 К), 6 — $LuNi_4P_2$ (390 К).

0.271—0.245 нм) и косвенное, через связи $Ni^+—P^-—Ni^+$. В соединениях $LnNi_4P_2$ (кроме YNi_4P_2 и $LuNi_4P_2$) также проявляется взаимодействие $Ln—Ni$, о чем свидетельствует наличие на зависимостях $\sigma(T)$ некоторых фосфидов точек компенсации.

Список литературы

- [1] Чихрий С. И. и др. // ДАН УССР. Сер. А. 1985. № 7. С. 81.
- [2] Pivan J. et al. // J. Less-Common Metals. 1989. V. 153. N 2. P. 285.
- [3] Тейлор К., Дарби М. Физика редкоземельных соединений. М.: Мир, 1974.
- [4] Jeitschko W. et al. // J. Phys. Chem. Solids. 1987. V. 48. N 7. P. 667.
- [5] Reehuis M. et al. // J. Phys. Chem. Solids. 1989. V. 50. N 6. P. 563.
- [6] Дей К., Селбин Д. Теоретическая неорганическая химия. М.: Химия, 1975.

Львовский государственный университет
им. И. Франко

Поступило в Редакцию
18 февраля 1991 г.